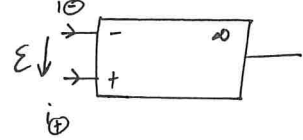


DS $n=4$

I Filtre de signaux non sinusoidaux

1. ALC idéal : $i_{\oplus} = 0 ; i_{\ominus} = 0$
- 
- Fond^t linéaire : $E = V_{\oplus} - V_{\ominus} = 0$

2. Un ALC est alimenté par une alimentation stationnaire symétrique stabilisée ($-15V ; 0V ; +15V = 3$ bornes).

3. Fil : $V_{\oplus} = 0$
 Millman à l'entrée inverseuse : $V_{\ominus} \left(\frac{1}{R_1} + \frac{1}{Z_{eq}} \right) = \frac{U_s}{R_1} + \frac{U_s}{Z_{eq}}$
 avec $Z_{eq} = R_2 // Z_C = \frac{R_2}{1 + j R_2 C \omega}$

$$\text{D'où, avec } V_{\oplus} = V_{\ominus} = 0 \Rightarrow \frac{U_s}{U_o} = H_1 = - \frac{Z_{eq}}{R_1}$$

$$\boxed{H_1 = - \frac{R_2 / R_1}{1 + j R_2 C \omega}} \quad \text{c'est un filtre passe-bas d'ordre 1}$$

$$\text{La forme canonique est } H = \frac{H_0}{1 + j \frac{\omega}{\omega_c}} \quad \text{donc} \quad \boxed{H_0 = - R_2 / R_1} \\ \boxed{\omega_c = \frac{1}{R_2 C}}$$

4. En BF : $H_1 \sim H_0$

$$\text{donc } G_{dB,BF} = 20 \log |H_0| = 20 \log \left(\frac{R_2}{R_1} \right)$$

$$\text{En HF : } H_1 \sim \frac{H_0}{j \frac{\omega}{\omega_c}} \quad \text{donc} \quad G_{dB,HF} = 20 \log |H_0| + 20 \log \left(\frac{\omega_c}{\omega} \right)$$

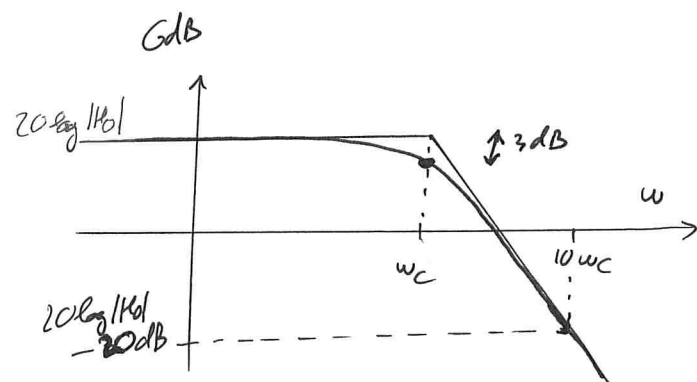
La pente est de -20 dB/dec

L'intersection des asymptotes se produit pour $\omega = \omega_c$ et donc

$$\boxed{I(\omega_c, 20 \log |H_0|)}$$

$$5. G_{dB} = 20 \log \frac{|H_0|}{\sqrt{1 + \left(\frac{\omega}{\omega_c} \right)^2}}$$

$$\text{donc } G_{dB}(\omega_c) = 20 \log \frac{|H_0|}{\sqrt{2}} \\ = 20 \log |H_0| - 3 \text{ dB}$$



6. $\underline{Z}_e = \frac{\underline{U}_e}{i_e}$ à vide.

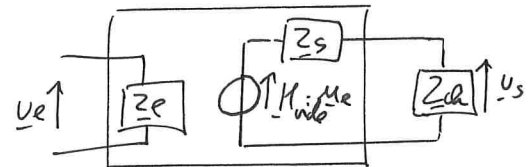
Loi des mailles à l'entrée : $\underline{U}_e - R_1 i_e - E = 0$

On $E=0$ donc $\frac{\underline{U}_e}{i_e} = \boxed{\underline{Z}_{e1} = R_1}$

7. L'ajout de \underline{Z}_{ch} à la sortie du filtre ne modifie pas les équations précédentes donc \underline{U}_S est indépendante de \underline{Z}_{ch} .

On, du modèle du quadripôle :

on a : $\underline{U}_S = H_{vid} \underline{U}_e \times \frac{\underline{Z}_{ch}}{\underline{Z}_S + \underline{Z}_{ch}}$



Cette expression dépend de \underline{Z}_{ch} sauf si $\underline{Z}_S = 0$.

D'où $\boxed{\underline{Z}_S = 0}$

8 On lit aux BF : $20 \log |H_0| = 6 \text{ dB}$ donc $|H_0| = 10^{\frac{6}{20}} = 2$

Le croisement des asymptotes se produit pour $f_c = 500 \text{ Hz}$.

9. C'est également la fréquence pour laquelle : $GdB = 6-3 = 3 \text{ dB}$
 $R_2/R_1 = 2$ et $R_2 = \frac{1}{2\pi f_c C}$ donc $\boxed{R_2 = 678 \Omega}$ et $\boxed{R_1 = 339 \Omega}$

On retrouve : $i_+ = i_- = 0$ et $E = V_+ - V_- = 0$

10. Millman à l'entrée \ominus : $V_\ominus (\underline{Y}_3 + \underline{Y}_5) = V_A \cdot \underline{Y}_3 + \underline{U}_S \cdot \underline{Y}_5$

Millman en A : $V_A (\underline{Y}_1 + \underline{Y}_2 + \underline{Y}_3 + \underline{Y}_4) = \underline{U}_e \cdot \underline{Y}_1 + V_\ominus \cdot \underline{Y}_3 + \underline{U}_S \cdot \underline{Y}_4$

D'où, avec $V_\ominus = 0$: $-\underline{U}_S \cdot \frac{\underline{Y}_5}{\underline{Y}_3} (\underline{Y}_1 + \underline{Y}_2 + \underline{Y}_3 + \underline{Y}_4) = \underline{U}_e \cdot \underline{Y}_1 + \underline{U}_S \cdot \underline{Y}_4$.

Sait $\underline{U}_S \frac{\underline{Y}_5 (\underline{Y}_1 + \underline{Y}_2 + \underline{Y}_3 + \underline{Y}_4)}{\underline{Y}_3} + \underline{Y}_4 = -\underline{U}_e \cdot \underline{Y}_1$

Final⁺ on obtient bien : $H_2 = \frac{\underline{U}_S}{\underline{U}_e} = \frac{-\underline{Y}_1 \cdot \underline{Y}_3}{\underline{Y}_5 (\underline{Y}_1 + \underline{Y}_2 + \underline{Y}_3 + \underline{Y}_4) + \underline{Y}_3 \cdot \underline{Y}_4}$

11. On a : $\underline{Y}_1 = \underline{Y}_2 = \frac{1}{R}$, $\underline{Y}_3 = \underline{Y}_4 = j\omega$ et $\underline{Y}_5 = \frac{1}{10R}$.

$$H_2 = \frac{-j\omega / R}{\frac{1}{10R} \left(\frac{2}{R} + 2j\omega \right) - \omega^2} = \frac{-1}{\frac{1}{5} + jRC\omega + \frac{1}{5jRC\omega}} = \frac{-5}{1 + j5RC\omega + \frac{1}{jRC\omega}}$$

L'identification donne :

$$\begin{cases} H_0' = -5 \\ \frac{Q}{\omega_0} = 5RL \\ Q\omega_0 = \frac{1}{RC} \end{cases} \Rightarrow \boxed{\begin{cases} H_0' = -5 \\ Q = \sqrt{5} \\ \omega_0 = \frac{1}{\sqrt{5}RC} \end{cases}}$$
3.

12. BF: $H_2 \sim \frac{H_0' \cdot w}{-jQ\omega_0}$ donc $G_{dB,BF} = 20 \log \frac{|H_0'|}{Q\omega_0} + 20 \log w$
(pente de + 20 dB/dec)

HF: $H_2 \sim \frac{H_0' \cdot \omega_0}{jQw}$ donc $G_{dB,HF} = 20 \log \frac{|H_0'| \omega_0}{Q} - 20 \log w$
(pente de - 20 dB/dec)

L'intersection se produit quand $\frac{|H_0'|}{Q\omega_0} \omega = \frac{|H_0'| \omega_0}{Qw}$
 donc pour $w = \omega_0$ et $G_{dB,HF}(\omega_0) = G_{dB,BF}(\omega_0) = 20 \log \frac{|H_0'|}{Q}$

D'où $\boxed{I(\omega_0, 20 \log \frac{|H_0'|}{Q})}$

13. $\boxed{G_{dB} = 20 \log \frac{|H_0'|}{\sqrt{1 + Q^2 \left(\frac{w}{\omega_0} - \frac{\omega_0}{w} \right)^2}}}$ et $\boxed{G_{dB}(\omega_0) = 20 \log |H_0'|}$

14. On lit: $I(500 Hz, -14 dB)$ en tracant les 2 asymptotes

On a également $G_{dB}(500 Hz) = 6 dB$.

D'où $\boxed{|H_0'| = 10^{\frac{6}{20}} = 2}$ et $\boxed{\frac{|H_0'|}{Q} = 10^{-\frac{14}{20}} = 0,2}$
 Donc $\boxed{Q = 10}$

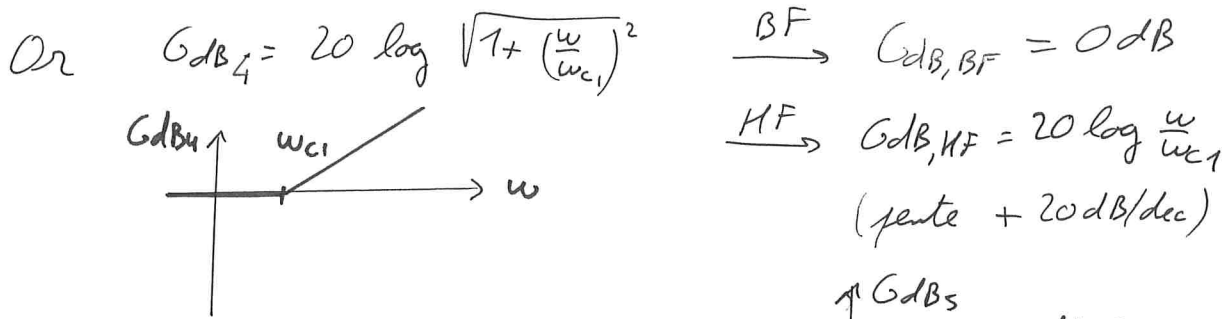
15. C'est le π type de montage que le filtre n°1 avec

$$Z_1 = R + (9R \parallel Z_C) \quad \text{et} \quad Z_2 = 10R$$

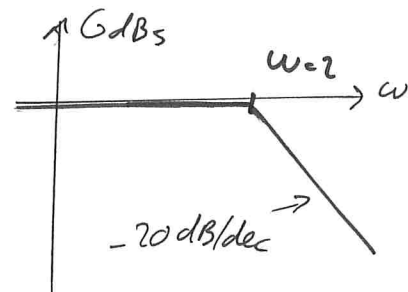
D'où $\boxed{H_3 = -\frac{Z_2}{Z_1} = \frac{-10R}{R + \frac{9R}{1 + j9RCw}}} = \frac{-10R(1 + j9RCw)}{R + j9RCw + 9R}$

$$= -\frac{1 + j9RCw}{1 + j\frac{9}{10}RCw} \Rightarrow \boxed{\begin{cases} w_{C1} = \frac{1}{9RC} \\ w_{C2} = \frac{10}{9RC} = 10w_{C1} \end{cases}}$$

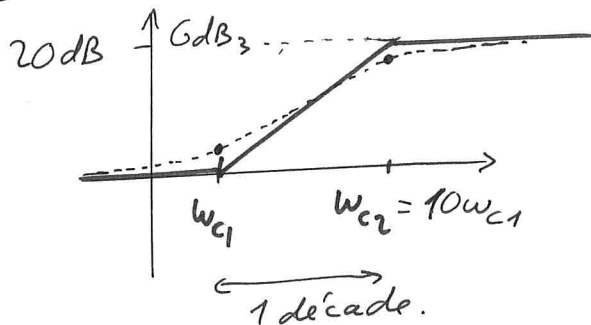
$$16. \underline{H}_3 = \underline{H}_4 \times \underline{H}_5 \text{ donc } GdB_3 = GdB_4 + GdB_5$$



Et $GdB_5 = \text{pente bas d'ordre 1 :}$



La somme de ces 2 diagrammes :



$$GdB(\omega_{c1}) = 3 \text{ dB}$$

$$GdB(\omega_{c2}) = 17 \text{ dB}$$

17. On lit $GdB = 3 \text{ dB}$ pour $f_{c1} = 500 \text{ Hz}$ et $GdB = 17 \text{ dB}$ pour

$$f_{c2} = 5 \text{ kHz} : \boxed{f_{c1} = 500 \text{ Hz} ; f_{c2} = 5000 \text{ Hz}}$$

18. Le théorème de Parseval donne $V_{eff}^2 = V_o^2 + \sum \left(\frac{V_h}{V_2} \right)^2$

$$\text{Or ici } V_o = V_h = 5 \text{ V}$$

$$\text{D'où : } V_{eff}^2 = 5^2 + 3 \times \left(\frac{5}{V_2} \right)^2 = 5^2 \left(1 + \frac{3}{2} \right) \Rightarrow \boxed{V_{eff} = 7,9 \text{ V}}$$

Les harmoniques sont de moyenne nulle donc $\boxed{V_o = 5 \text{ V}}$
(il ne reste que la composante continue).

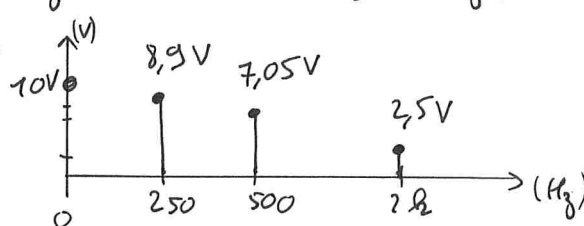
19. Filtre n°1 : $GdB_{BF} = 6 \text{ dB}$ donc $|H_{BF}| = 2$

$$GdB(250 \text{ Hz}) = 5 \text{ dB} \text{ donc } |H(250 \text{ Hz})| = 10^{\frac{5}{20}} = 1,78.$$

$$GdB(500 \text{ Hz}) = 3 \text{ dB} \text{ donc } |H(500 \text{ Hz})| = 10^{\frac{3}{20}} = 1,41$$

$$GdB(2 \text{ kHz}) = -6 \text{ dB} \text{ donc } |H(2 \text{ kHz})| = 10^{-\frac{6}{20}} = 0,50$$

D'où le spectre de sortie :



20. Filtre 2: $G_{dB, BF} = -\infty \rightarrow |H_{BF}| = 0$

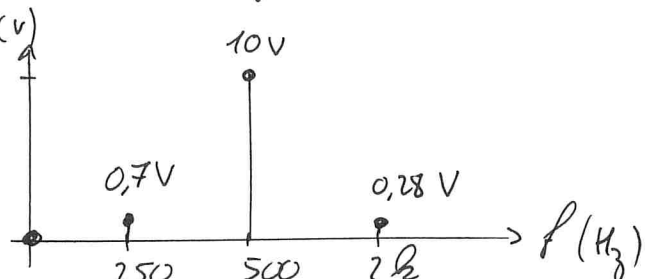
$$\cdot G_{dB}(250\text{Hz}) = -17 \text{ dB} \rightarrow |H(250\text{Hz})| = 0,14$$

$$\cdot G_{dB}(500\text{Hz}) = 6 \text{ dB} \rightarrow |H(500\text{Hz})| = 2,0$$

$$\cdot G_{dB}(2\text{kHz}) = -25 \text{ dB} \rightarrow |H(2\text{kHz})| = 0,056.$$

D'où le spectre de sortie:

Le signal de sortie est
quasiment sinusoidal
à 500 Hz.

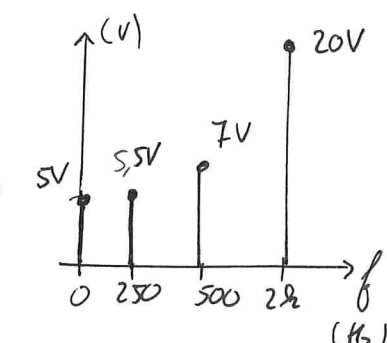


21. Filtre 3: $G_{dB, BF} = 0 \text{ dB} \rightarrow |H_{BF}| = 1$

$$G_{dB}(250\text{Hz}) = 1 \text{ dB} \rightarrow |H(250\text{Hz})| = 1,1$$

$$G_{dB}(500\text{Hz}) = 3 \text{ dB} \rightarrow |H(500\text{Hz})| = 1,4$$

$$G_{dB}(2\text{kHz}) = 12 \text{ dB} \rightarrow |H(2\text{kHz})| = 4,0$$



22. Pour que le spot repasse sur la même trace à chaque balayage de l'écran, il faut que la période de balayage soit un multiple de la période d'affichage du signal.

$$T_{affichage} = n T_{signal}$$

Le seuil de déclenchement est fixé par le bouton 'Trigger' ('gâchette' in G.B.)

$$T_e = 2 \text{ ms} \Rightarrow f_e = 500 \text{ Hz}$$

$$\langle u_e \rangle = \frac{1}{2} (u_{max} + u_{min}) = 1,5 \text{ V}$$

$$u_{sym} = \frac{1}{2} (u_{max} - u_{min}) = 2,5 \text{ V}$$

⚠ Ne pas confondre les 2 formules.

$$24. T_s = 2 \text{ ms} \Rightarrow f_s = 500 \text{ Hz} \quad \langle u_s \rangle = 0 \quad u_{sym} = 4,0 \text{ V}$$

25. Le signal d'entrée comporte une composante continue qui est coupée, un fondamental d'amplitude $\frac{8E}{\pi^2} = 20 \text{ V}$ et des harmoniques d'amplitude $\frac{8E}{\pi^2} \times \frac{1}{g}$ à 3 fe

$$\frac{8E}{\pi^2} \times \frac{1}{25} \text{ à } 5 \text{ fe} \dots \text{négligable}$$

Comme seul le fondamental est transmis, il s'agit du filtre n°2 (pass bande à $f_0 = 500 \text{ Hz}$).

On obtient bien une amplitude de sortie de :

$$\frac{8E}{\pi^2} \times 10^{\frac{6}{20}} = 4,0 \text{ V}$$

[La phase n'est pas étudié mais $H_0 < 0$ donc à la résonance on a : $\arg(H) = \pi$. On observe bien que u_e et u_s sont en opposition de phase.]

25. entrée : $f_e = 167 \text{ Hz}$ $\langle u_e \rangle = 1,5 \text{ V}$ et $u_{sm} = 2,5 \text{ V}$

sortie : $f_s = 500 \text{ Hz} = 3f_e$ $\langle u_s \rangle = 0 \text{ et } u_{sm} \approx 0,44 \text{ V}$.

Il s'agit du filtre n°2 (passe-bande) qui coupe la composante continue et le fondamental mais amplifie l'harmonique de rang 3. Les harmoniques suivantes sont coupées également.

On a bien : $u_{sm} = \frac{8E}{\pi^2} \times \frac{1}{3} \times 10^{\frac{6}{20}} = 0,44 \text{ V}$

[Pur le fondamental on a : $|H(167 \text{ Hz})| = 10^{-\frac{24}{20}} = 0,063$

donc son amplitude en sortie est $\frac{8E}{\pi^2} \times 0,063 = 0,13 \text{ V}$.

[ce qui explique des légères variations de u_s].

27. entrée : carré à 1kHz d'amplitude 2,5V

sortie : triangle à 1kHz d'amplitude 2,2V.

Il y a intégration du signal d'entrée.

C'est le filtre n°1 qui est intégrateur pur des signaux dont le fondamental et les harmoniques sont sur la pente à -20 dB/dec . ($G_{dB}(1 \text{ kHz}) = -1 \text{ dB} \Rightarrow |H| = 99$ et $u_{sm} \approx 2,2 \text{ V}$)

R₁: le filtre passe-bande se comporte également en intégrateur pur $f > 1 \text{ kHz}$ mais le gain est alors bien plus faible ($G_{dB} \approx -17 \text{ dB}$) et le signal de sortie aurait une amplitude bien + faible.

(R₂): Sur l'asymptote HF du filtre 1, $\arg(H) \approx \frac{\pi}{2}$
donc u_s est en quadrature avancée / u_e .]

II. Trajectoire des plombs d'une cartouche

1. Syst: un plomb Réf: tenue considérée galiléen

Forces: $m\vec{g}$ $\vec{F}_D = -\frac{1}{2} \rho_{air} S C_D v \vec{v}$.

$$\text{PFO: } m \frac{d\vec{v}}{dt} = m\vec{g} - \frac{1}{2} \rho_{air} S C_D v \vec{v}$$

A. Trajectoire gravitaire.

$$2. \|m\vec{g}\| \gg \|\vec{F}_D\| \Leftrightarrow mg \gg \frac{1}{2} \rho_{air} S C_D v^2$$

$$\text{Donc il faudrait: } v \ll \sqrt{\frac{2mg}{\rho_{air} \pi R^2 C_D}} = v_\infty$$

À l'instant initial cela donne $v_0 \ll v_\infty$.

3. C'est une chute libre!

$$m\vec{a} = m\vec{g} \Rightarrow \vec{a} = \vec{g} \Rightarrow \vec{v} = \vec{g}t + \vec{v}_0 \Rightarrow \vec{OM} = \frac{1}{2} \vec{g} \frac{t^2}{2} + \vec{v}_0 t$$

$$\text{Soit: } \begin{cases} x(t) = V_0 \cos \theta_0 \cdot t \\ z(t) = -\frac{1}{2} g t^2 + V_0 \sin \theta_0 \cdot t \end{cases}$$

$$\Rightarrow z = -\frac{1}{2} g \frac{x^2}{V_0^2 \cos^2 \theta_0} + \tan \theta_0 \cdot x$$

c'est une parabole (H)
indépendante de m .

4. Lorsque $x = x_m$ on a $z = 0$

$$\text{donc } x \left(\tan \theta_0 - \frac{g x}{2 V_0^2 \cos^2 \theta_0} \right) = 0 \Rightarrow x_m = \frac{2 \sin \theta_0 \cos \theta_0 \cdot V_0^2}{g}$$

5. Lorsque $z = H_m$ on a $\dot{z} = 0$

$$\text{donc } t_{\text{Sommet}} = \frac{V_0 \sin \theta_0}{g} \text{ et}$$

$$H_m = \frac{V_0^2 \sin^2 \theta_0}{2g} \quad (\text{H})$$

6. x_m est maximal si $\frac{dx_m}{d\theta_0} = 0$ donc si $\frac{d(\sin \theta_0 \frac{V_0^2}{g})}{d\theta_0} = 0$

$$\text{soit } 2 \cos(2\theta_0) \frac{V_0^2}{g} = 0 \Rightarrow 2\theta_0 = \frac{\pi}{2} \text{ donc } \theta_0 = \frac{\pi}{4} \text{ rad.}$$

$$\text{On a alors } x_{m,\max} = \frac{V_0^2}{g}$$

$$7. \text{ AN: } x_m = 14,7 \text{ km}, H_m = 3,7 \text{ km}, V_0 = 33 \text{ m s}^{-1}$$

Ces valeurs sont aberrantes. C'est logique car l'hypothèse $V_0 \gg v_0$ est fausse: c'est même l'inverse ($V_0 \gg v_\infty$).

B. Trajectoire de Tastaglia

8.

Pour que une trajectoire soit rectiligne il faut que l'accélération soit selon \vec{e}_x' . Or le poids est selon $-\vec{e}_z \neq \vec{e}_x'$. Dans cette phase, on a donc $\|mg\| \ll \|F_D\|$.

On peut également reprendre la valeur de v_∞ (par les plomb n°1) et constater que $v_\infty \ll v_0$ donc $mg \ll \frac{1}{2} \rho_{air} S C_D v^2$.

9o On a alors : $m \vec{a} = -\frac{1}{2} \rho_{air} S C_D v \vec{v}$

Selon \vec{e}_x' : $m \frac{dv}{dt} = -\frac{1}{2} \rho_{air} S C_D v \cdot \frac{dx'}{dt}$

En divisant de part et d'autre par $\frac{dx'}{dt}$ et en simplifiant par dt :

$$\frac{dv}{dx'} = -\frac{\rho_{air} S C_D}{2m} v = -\frac{g}{v_0^2} v \quad \text{car } v_0^2 = \frac{2mg}{\rho_{air} S C_D}$$

10. $v = A e^{-x'/D}$. Or les CI imposent $v(x'=0) = v_0$ donc

$$A = v_0 \Rightarrow \boxed{v(x') = v_0 e^{-x'/D}} \quad \text{évolution exponentielle de la vitesse}$$

D = distance caractéristique d'évolution de v . (on vérifie l' H !)

[En quelques D , v devient très faible ... et le modèle qui impose $v \gg v_\infty$, n'est alors plus valable.]

11. Pour $x' = d$, on a $v = 10 v_\infty$ donc :

$$v_0 e^{-d/D} = 10 v_\infty \Rightarrow \boxed{d = D \cdot \ln\left(\frac{v_0}{10 v_\infty}\right)}$$

Pour un plomb n°1 : $v_{\infty 1} = 33 \text{ m.s}^{-1} \Rightarrow D_1 = 111 \text{ m} \text{ et } d_1 = 15,7 \text{ m.}$

— — — 12 : $v_{\infty 12} = 18 \text{ m.s}^{-1} \Rightarrow D_{12} = 36 \text{ m} \text{ et } d_{12} = 26,9 \text{ m.}$

[Ce résultat est surprenant car en désaccord avec les combes données sur la dernière figure : on obtient ici d décroissant avec m ... ??]

12. $E_c = \frac{1}{2} m v^2$ donc $E_c(d) = \frac{1}{2} m (10 v_0)^2$

AN: $E_{c,1}(d_1) = 20,7 \text{ J}$. Dans la phase rediligne, E_c dépend fortement de la masse.

$$E_{c,12}(d_{12}) = 0,2 \text{ J}$$

En cas d'agglutination, le bloc de plomb aura une masse très supérieure à celle d'un unique plomb et donc une énergie cinétique très élevée. Ce projectile est alors beaucoup plus dangereux.

13. Lorsque $\vec{v} = \vec{v}_{\lim}$ on a $\frac{d\vec{v}}{dt} = \vec{0}$. Le PFD donne alors:

$$m\vec{a} = \vec{0} = m\vec{g} - \frac{1}{2} \rho_{air} S C_D v_{\lim}^2 \cdot \vec{v}_{\lim}$$

On en déduit que v_{\lim} est colinéaire à \vec{g} et après projection selon \vec{e}_z :

$$v_{\lim}^2 = \frac{\rho_{air} S C_D}{2mg} v_0^2$$

D'où $\vec{v}_{\lim} = -v_{\lim} \cdot \vec{e}_z$ (car \vec{g} est selon $-\vec{e}_z$)

14. On voit que dans cette phase, le plomb tombe vertical, comme s'il avait été arrêté par un mur!

15. AN: $x_{M,1} = 266 \text{ m}$ et $x_{M,12} = 107 \text{ m}$.

diamètre = 6 mm
↓

La règle énoncée dans l'article donne $X_{M,1} = 100 \times 4 = 400 \text{ m}$
les autres de grandeur correspondent. et $X_{M,12} = 100 \times 1,25 = 125 \text{ m}$.

16. Pour un plomb n°1: $\log((v_{\lim,1})^2) = 2,1 \Rightarrow \alpha_{opt,1} = 17^\circ$
 — — — 12: $\log((v_{\lim,12})^2) = 2,65 \Rightarrow \alpha_{opt,2} = 16^\circ$.

On remarque que α_{opt} est peu sensible à la masse des plombs.

17. Par lecture: $x_{M,1} \approx 330 \text{ m}$
 $x_{M,12} \approx 170 \text{ m}$

Ces valeurs sont un peu plus élevées que celles de la q. 15 mais plus proches de celle de la formule du doc. 1.

III Ping-Pong PCSI 1.

10.

On constate que la distance parcourue par la balle avant le 1^{er} rebond est $\frac{L}{2n}$.

Or le PFD selon \vec{z} donne $\ddot{z} = -g \Rightarrow z = -g \frac{t^2}{2} + h$
car $z(0) = 0$ et $z'(0) = h$.

La balle touche la table pour la 1^{re} fois à l'instant $t_1 = \sqrt{\frac{2h}{g}}$.

La vitesse horizontale est constante (pas de frot⁺)
donc la distance parcourue est $d = V_0 t_1 = V_0 \sqrt{\frac{2h}{g}}$

Il faut donc :
$$V_0 \sqrt{\frac{2h}{g}} = \frac{L}{2n}$$

Il faut donc faire évoluer V_0 proportionnellement à $\frac{1}{n}$
ou faire évoluer h proportionnellement à $\frac{1}{n^2}$.

A vous de jouer! [en tenant compte des frot⁺ et la dissipation d'énergie lors des rebonds!].